

ISSN 0021-3470



ИЗВЕСТИЯ
ВЫСШИХ УЧЕБНЫХ
ЗАВЕДЕНИЙ

РАДИОЭЛЕКТРОНИКА

том 45

9-10

сентябрь-октябрь

ИЗДАНИЕ
НАЦИОНАЛЬНОГО
ТЕХНИЧЕСКОГО
УНИВЕРСИТЕТА
УКРАИНЫ
«КИЕВСКИЙ
ПОЛИТЕХНИЧЕСКИЙ
ИНСТИТУТ»

2002

ТРИФОНОВ А. П., ГЛАЗНЕВ А. А.

ОЦЕНКА ПАРАМЕТРОВ СЛУЧАЙНОГО СИГНАЛА ПРИ НАЛИЧИИ ПОМЕХИ С НЕИЗВЕСТИМЫМИ ПАРАМЕТРАМИ*

Выполнен синтез и анализ алгоритма совместной оценки максимального правдоподобия дисперсии и полосы частот случайного сигнала. Алгоритм адаптируется к помехе с неизвестными интенсивностью и полосой частот. Приведены результаты статистического моделирования синтезированных алгоритмов на ЭВМ.

Задача оценки параметров спектра мощности (СМ) стационарного случайного процесса рассматривалась в ряде работ [1,2] и др. В [2] получена структура и найдены характеристики адаптивного максимально правдоподобного измерителя дисперсии и полосы частот случайного сигнала с прямоугольной формой СМ, адаптирующегося к помехе с неизвестной интенсивностью. При этом предполагалось, что априори неизвестная полоса частот помехи больше полосы пропускания ω_m преселектора радиоэлектронной системы [2], реализующей оценку максимального правдоподобия (ОМП). Однако, достаточно часто полоса частот внешней непреднамеренной (взаимной) помехи [3] или преднамеренной шумовой помехи [4] может быть меньше полосы пропускания преселектора. В этом случае полученный в [2] алгоритм оценки нестает быть максимально правдоподобным и точность оценок ухудшается. Поэтому рассмотрим возможность адаптивного измерения параметров СМ случайного сигнала при наличии помехи с неизвестными интенсивностью и полосой частот.

Аналогично [2] полагаем, что в течение времени $[0, T]$ обработке доступна прошедшая через преселектор радиоэлектронной системы реализация наблюдаемых данных вида

$$x(t) = s(t) + \xi(t) + n(t). \quad (1)$$

Здесь $s(t)$ — стационарный гауссовский случайный сигнал с прямоугольной формой СМ $G_s(\omega) = 2\pi D_0 I(\omega/\Omega_0)/\Omega_0$, где $I(x) = 1$ при $|x| \leq 1/2$ и $I(x) = 0$ при

* Приведенные результаты получены при поддержке CDRF, Минобразования РФ и Российского фонда фундаментальных исследований (проекты VZ-010-0, E00-5,5-5 и 02-01-00057).

$|x| > 1/2$. Соответственно неизвестными параметрами СМ сигнала являются дисперсия D_0 и ширина полосы частот Ω_0 , принимающая значения из априорного интервала $[\Omega_{\min}; \Omega_{\max}]$. Положим, что полоса пропускания преселектора ω_m всегда превышает полосу частот сигнала ($\omega_m > \Omega_{\max}$) и что время наблюдения T значительно больше времени корреляции случайного сигнала, т. е.

$$\mu = T\Omega_0 / 4\pi \gg 1. \quad (2)$$

Как и в [2] аддитивную помеху $n(t)$, аппроксимирующую собственные шумы элементов радиоэлектронной системы, будем полагать гауссовским белым шумом с односторонней спектральной плотностью N_0 . В качестве модели внешней помехи $\xi(t)$ выберем стационарный центрированный гауссовский случайный процесс, обладающий СМ $G_\xi(\omega) = \gamma_0 I(\omega/\varphi_0)/2$. Неизвестными параметрами помехи являются ее интенсивность γ_0 и полоса частот φ_0 , принимающая значения из интервала $[\varphi_{\min}; \varphi_{\max}]$, причем $\varphi_{\min} > \Omega_{\max}$.

В случае, если полоса частот помехи больше полосы пропускания преселектора ($\varphi_{\min} > \omega_m$), в качестве алгоритма оценки неизвестных параметров СМ случайного сигнала можно использовать максимально правдоподобный алгоритм, синтезированный в [2]. Тогда оценки дисперсии и полосы частот сигнала имеют следующий вид

$$\tilde{D} = \frac{1}{\pi} \left[\int_0^{\tilde{\Omega}/2} S_T(\omega) d\omega - \frac{1}{\omega_m/\tilde{\Omega} - 1} \int_{\tilde{\Omega}/2}^{\omega_m/2} S_T(\omega) d\omega \right], \quad (3)$$

$$\tilde{\Omega} = \arg \sup \tilde{L}(\Omega), \quad \Omega \in [\Omega_{\min}; \Omega_{\max}], \quad (4)$$

$$\begin{aligned} \tilde{L}(\Omega) = & \frac{T}{\pi N_0} \int_0^{\omega_m/2} S_T(\omega) d\omega - \frac{T\omega_m}{4\pi} - \frac{T\Omega}{4\pi} \ln \frac{4}{\Omega N_0} \times \\ & \times \int_0^{\Omega/2} S_T(\omega) d\omega - \frac{T(\omega_m - \Omega)}{4\pi} \ln \frac{4}{(\omega_m - \Omega)N_0} \int_{\Omega/2}^{\omega_m/2} S_T(\omega) d\omega. \end{aligned} \quad (5)$$

Здесь $S_T(\omega) = \left| \int_0^T x(t) \exp(-j\omega t) dt \right|^2 / T$ — периодограмма реализации наблюдаемых данных. В случае $\varphi_{\min} < \omega_m$ полоса пропускания преселектора может оказаться как больше, так и меньше полосы частот помехи. При $\omega_m \leq \varphi_0$ алгоритм совместной оценки (3), (4) остается максимально правдоподобным и его характеристики получены в [2]. Поэтому в дальнейшем рассмотрим случай $\omega_m > \varphi_0$ и определим характеристики квазиправдоподобных оценок дисперсии (3) и полосы частот (4) случайного сигнала.

Положим вначале, что полоса частот сигнала априори известна. Тогда в (3) следует полагать $\tilde{\Omega} = \Omega_0$. Подставляя в (3) реализацию наблюдаемых данных (1) и выполняя усреднение, получаем для условных смещения (систематической ошибки) и рассеяния (среднего квадрата ошибки) оценки (3) выражения:

$$b(\tilde{D}|D_0) = \langle \tilde{D} - D_0 \rangle = D_0 q_\gamma k_0 \Delta / \{q_s [k_0 (\Delta + 1) - 1]\}, \quad (6)$$

$$\begin{aligned} V(\tilde{D}|D_0) = & \langle (\tilde{D} - D_0)^2 \rangle = b^2(\tilde{D}|D_0) + \frac{D_0^2}{\mu [k_0 (\Delta + 1) - 1] q_s^2} \times \\ & \times \left\{ [k_0 (\Delta + 1) - 1] (1 + q_\gamma + q_s)^2 + (1 + q_\gamma)^2 \right\} - \frac{D_0^2 q_\gamma (q_\gamma + 2) k_0 \Delta}{\mu [k_0 (\Delta + 1) - 1]^2 q_s^2}. \end{aligned} \quad (7)$$

Здесь $\Delta = \max(0, \delta)$, $\delta = (\omega_m - \varphi_0) / \varphi_0$ — относительное отклонение полосы пропускания преселектора приемного устройства от истинного значения полосы частот помехи, $k_0 = \varphi_0 / \Omega_0$, $q_\gamma = \gamma_0 / N_0$ — отношение интенсивности помехи к интенсивности белого шума, $q_s = 4\pi D_0 / \Omega_0 N_0$ — отношение средней мощности случайного сигнала к средней мощности белого шума в полосе частот сигнала. Следует отметить, что если полоса частот помехи априори известна, то полосу пропускания преселектора можно выбрать такой, что $\omega_m \leq \varphi_0$, поэтому наличие ненулевой расстройки δ обусловлено априорным незнанием полосы частот помехи φ_0 .

Проигрыш в точности оценки дисперсии вследствие неточного знания полосы частот помехи будем характеризовать отношением $\chi = V(\tilde{D}|D_0, \delta) / V_0(\tilde{D}|D_0)$, где $V_0(\tilde{D}|D_0) = V(\tilde{D}|D_0, \delta = 0)$ — рассеяние оценки дисперсии при априори точно известном значении полосы частот помехи [2].

Зависимость $\chi(\delta)$ для $\mu = 100$, $k_0 = 4$ и различных значений q_γ , q_s приведена на рис. 1. Кривая 1 рассчитана для $q_\gamma = 2$, $q_s = 1$; 2 — $q_\gamma = 2$, $q_s = 2$; 3 — $q_\gamma = 1$, $q_s = 1$ и 4 — $q_\gamma = 1$, $q_s = 2$. Как следует из рис. 1, априорное незнание полосы частот помехи может привести к значительному снижению точности оценки дисперсии (3). Однако, проигрыш в точности оценки убывает с ростом интенсивности сигнала и уменьшением мощности помехи.

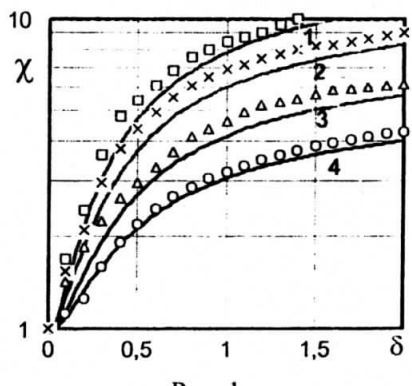


Рис. 1

Далее рассмотрим случай, когда полоса частот сигнала Ω_0 априори неизвестна и найдем характеристики ее оценки (4). Для этого перепишем функционал (5) в виде

$$\tilde{L}(\Omega) = T \left\{ \omega_m L_1(\omega_m) - \Omega \ln L_2(\Omega) - (\omega_m - \Omega) \ln L_3(\Omega, \omega_m) \right\} / 4\pi, \quad (8)$$

где

$$L_1(\varphi) = \frac{4}{\omega_m N_0} \int_0^{\varphi/2} S_T(\omega) d\omega - \frac{\varphi}{\omega_m}, \quad L_2(\Omega) = \frac{4}{\Omega N_0} \int_0^{\Omega/2} S_T(\omega) d\omega$$

$$L_3(\Omega, \varphi) = \frac{4}{(\varphi - \Omega) N_0} \int_{\Omega/2}^{\varphi/2} S_T(\omega) d\omega \quad (9)$$

Функцию $L_1(\varphi)$ представим в виде суммы сигнальной и шумовой функции [5]:

$$L_1(\varphi) = S_1(\varphi) + \varepsilon N_1(\varphi), \quad \varepsilon = 1/\sqrt{\mu},$$

$$S_1(\varphi) = q_s / [k_0(\Delta+1)] + q_\gamma \min(\varphi, \varphi_0) / \omega_m, \quad N_1(\varphi) = \sqrt{\mu} [L_1(\varphi) - S_1(\varphi)].$$

Нормированная шумовая функция $N_1(\varphi)$ обладает нулевым математическим ожиданием и корреляционной функцией

$$K_{11}(\varphi_1, \varphi_2) = \langle N_1(\varphi_1) N_1(\varphi_2) \rangle = \left\{ \left[q_s^2 + 2q_s(1+q_\gamma) \right] / [k_0(\Delta+1)] + \right.$$

$$\left. + (q_\gamma^2 + 2q_\gamma) \min(\varphi_0, \varphi_1, \varphi_2) / \omega_m + \min(\varphi_1, \varphi_2) / \omega_m \right\} / [k_0(\Delta+1)]. \quad (10)$$

Аналогично функцию $L_2(\Omega)$ представим в виде суммы сигнальной и шумовой функции:

$$L_2(\Omega) = S_2(\Omega) + \varepsilon N_2(\Omega), \quad S_2(\Omega) = 1 + q_\gamma + q_s \min(\Omega, \Omega_0) / \Omega,$$

$$N_2(\Omega) = \sqrt{\mu} [L_2(\Omega) - S_2(\Omega)].$$

Нормированная шумовая функция $N_2(\Omega)$ обладает нулевым математическим ожиданием и корреляционной функцией

$$K_{22}(\Omega_1, \Omega_2) = \langle N_2(\Omega_1) N_2(\Omega_2) \rangle =$$

$$= \frac{\Omega_0}{\Omega_1 \Omega_2} \left\{ \left[q_s^2 + 2q_s(1+q_\gamma) \right] \min(\Omega_0, \Omega_1, \Omega_2) + (1+q_\gamma)^2 \min(\Omega_1, \Omega_2) \right\}. \quad (11)$$

Функцию $L_3(\Omega, \varphi)$ также представим в виде суммы сигнальной и шумовой функции:

$$L_3(\Omega, \varphi) = S_3(\Omega, \varphi) + \varepsilon N_3(\Omega, \varphi),$$

$$S_3(\Omega, \varphi) = 1 + q_\gamma \min[1, (\varphi_0 - \Omega)/(\varphi - \Omega)] + q_s \max[0, (\Omega_0 - \Omega)/(\varphi - \Omega)]$$

$$N_3(\Omega, \varphi) = \sqrt{\mu} [L_3(\Omega, \varphi) - S_3(\Omega, \varphi)].$$

Нормированная шумовая функция $N_3(\Omega, \varphi)$ обладает нулевым математическим ожиданием и корреляционной функцией

$$K_{33}(\Omega_1, \Omega_2, \varphi_1, \varphi_2) = \langle N_3(\Omega_1, \varphi_1) N_3(\Omega_2, \varphi_2) \rangle =$$

$$= \frac{\Omega_0}{(\varphi_1 - \Omega_1)(\varphi_2 - \Omega_2)} \left\{ \left[q_s^2 + 2q_s(1 + q_\gamma) \right] \times \right.$$

$$\times [\max(\Omega_0, \Omega_1, \Omega_2) - \max(\Omega_1, \Omega_2)] + (q_\gamma^2 + 2q_\gamma)[\min(\varphi_0, \varphi_1, \varphi_2) -$$

$$\left. - \max(\varphi_1, \varphi_2)] + \min(\varphi_1, \varphi_2) - \max(\Omega_1, \Omega_2) \right\}. \quad (12)$$

Подставив полученные выражения в (8), запишем $\tilde{L}(\Omega)$ как функцию параметра ε :

$$\tilde{L}(\Omega) = \frac{T}{4\pi} \left\{ \omega_m S_1(\omega_m) + \varepsilon \omega_m N_1(\omega_m) - \Omega \ln[S_2(\Omega) + \varepsilon N_2(\Omega)] - (\omega_m - \Omega) \times \right.$$

$$\left. \times \ln[S_3(\Omega, \omega_m) + \varepsilon N_3(\Omega, \omega_m)] \right\}. \quad (13)$$

Из (10)–(12) имеем, что дисперсии шумовых функций $K_{11}(\omega_m, \omega_m)$, $K_{22}(\Omega_0, \Omega_0)$ и $K_{33}(\Omega_0, \Omega_0, \omega_m, \omega_m)$ ограничены при любых значениях $k_0 > 1$, $q_\gamma > 0$ и $q_s > 0$. Учитывая также, что в силу условия (2) $\varepsilon \ll 1$, разложим (13) в ряд Маклорена по ε до первого члена разложения, зависящего от реализации наблюдаемых данных. Тогда (8) можно представить в виде

$$\tilde{L}(\Omega) = \tilde{S}(\Omega) + \tilde{N}(\Omega), \quad (14)$$

$$\tilde{S}(\Omega) = T \left\{ \omega_m S_1(\omega_m) - \Omega \ln S_2(\Omega) - (\omega_m - \Omega) \ln S_3(\Omega, \omega_m) \right\} / 4\pi, \quad (15)$$

$$\tilde{N}(\Omega) = \varepsilon T \left\{ \omega_m N_1(\omega_m) - \Omega N_2(\Omega) / S_2(\Omega) - (\omega_m - \Omega) \times \right.$$

$$\left. \times N_3(\Omega, \omega_m) / S_3(\Omega, \omega_m) \right\} / 4\pi.$$

Для того, чтобы сигнальная функция (15) достигала максимума при $\Omega = \Omega_0$ и оценка (4) была состоятельна, когда $\mu \rightarrow \infty$, необходимо, чтобы в малой окрестности Ω_0 выполнялись условия

$$d\tilde{S}(\Omega) / d\Omega|_{\Omega=\Omega_0} > 0, \quad d\tilde{N}(\Omega) / d\Omega|_{\Omega=\Omega_0} < 0. \quad (16)$$

Отсюда следует, что для каждой величины полосы частот пропускания преселектора ω_m существует значение полосы частот помехи $\varphi^* > \Omega_0$ такое, что при $\varphi_0 > \varphi^*$ алгоритм (4) работоспособен, т. е. оценка состоятельна, а при

$\varphi_0 < \varphi^*$ — не работоспособен. Нормированная величина $k^* = \varphi^*/\Omega_0$ определяется из равенства

$$\frac{q_s}{1+q_\gamma+q_s} + \frac{q_\gamma k^* \Delta}{(1+q_\gamma)(k^*-1)+k^*\Delta} = \ln \left[\frac{(k^*-1+k^*\Delta)(1+q_\gamma+q_s)}{(1+q_\gamma)(k^*-1)+k^*\Delta} \right].$$

На рис. 2 приведена зависимость $k^*(\delta)$ для значения параметра $q_\gamma = 1$ и различных значений q_s . Кривая 1 рассчитана для $q_s = 0.5$; 2 — для $q_s = 1$ и 3 — для $q_s = 2$.

Каждая кривая делит область возможных значений полосы частот помехи φ_0 и полосы пропускания преселектора ω_m на две подобласти. Если точка, соответствующая некоторым заданным значениям параметров k_0 и δ лежит выше кривой $k^*(\delta)$, то алгоритм оценки (4) является работоспособным. Как следует из рис. 2, область работоспособности алгоритма оценки полосы частот увеличивается с ростом интенсивности сигнала.

В дальнейшем будем рассматривать случай, когда необходимое условие работоспособности $k_0 > k^*$ выполняется и сигнальная функция

достижет максимума в точке истинного значения оцениваемого параметра. Тогда выходное отношение сигнал/шум (ОСШ) можем записать как

$$\tilde{z}^2 = \frac{\tilde{S}^2(\Omega_0)}{\langle \tilde{N}^2(\Omega_0) \rangle} = \quad (17)$$

$$= \mu \frac{\left\{ q_s + q_\gamma k_0 - \ln(1+q_\gamma+q_s) - [k_0(\Delta+1)-1] \ln \left[\frac{(1+q_\gamma)(k_0-1)+k_0\Delta}{k_0(\Delta+1)-1} \right] \right\}^2}{(q_\gamma+q_s)^2 + [(1+q_\gamma)^2(k_0-1)+k_0\Delta]q_\gamma^2(k_0-1)^2 / [(1+q_\gamma)(k_0-1)+k_0\Delta]^2}.$$

Из (17) следует, что при $q_s > 0$, $q_\gamma > 0$, $k_0 > 1$ и $\mu \rightarrow \infty$, ОСШ $\tilde{z} \rightarrow \infty$. Если $\tilde{z} \rightarrow \infty$ и выполняются условия (16), то оценка $\tilde{\Omega} \rightarrow \Omega_0$ в среднеквадратическом. Поэтому при больших ОСШ \tilde{z} (17) для получения характеристик оценки (4) достаточно исследовать поведение случайного процесса $\tilde{L}(\Omega)$ (8) в малой окрестности Ω_0 . Можно показать, что в этой окрестности процесс (8) является асимптотически гауссовским марковским процессом диффузионного типа [7], что позволяет применить метод локально-марковской аппроксимации [6]. Со-

гласно (10)–(13), коэффициенты сноса K_1 и диффузии K_2 процесса (8) имеют вид:

$$K_1 = \frac{T}{4\pi} \begin{cases} a_1, & \Omega < \Omega_0 \\ -a_2, & \Omega > \Omega_0 \end{cases}, \quad K_2 = \frac{T}{4\pi} \begin{cases} b_1, & \Omega < \Omega_0 \\ b_2, & \Omega > \Omega_0 \end{cases}, \quad (18)$$

где

$$a_1 = \frac{T}{4\pi} [\psi - \ln(1+\psi)], \quad a_2 = \frac{T}{4\pi} \left[\ln(1+\psi) - \frac{\psi}{1+q} \right], \quad b_2 = \frac{T}{4\pi} \left[\frac{\psi}{1+q} \right]^2,$$

$$\psi = [q_s(k_0 - 1) + (q_\gamma + q_s)k_0\Delta] / [(1 + q_\gamma)(k_0 - 1) + k_0\Delta] \quad (19)$$

В выражениях (19) введен параметр $q = q_s / (1 + q_\gamma) = 4\pi D_0 / \Omega_0 (\gamma_0 + N_0)$, который характеризует отношение средней мощности случайного сигнала к суммарной средней мощности помехи и белого шума в полосе частот-сигнала.

Используя метод локально-марковской аппроксимации и решая уравнение Фоккера—Планка—Колмогорова [7] с коэффициентами (18) при соответствующих начальных и граничных условиях [6], находим функцию распределения оценки (4):

$$F(\omega) = P[\tilde{\Omega} < \omega] = \begin{cases} U[-z_1^2(\omega - \Omega_0), \eta_1, \eta_2, f], \Omega_{\min} \leq \omega < \Omega_0 \\ 1 - U[z_2^2(\omega - \Omega_0), \eta_2, \eta_1, f], \Omega_0 \leq \omega \leq \Omega_{\max} \end{cases} \quad (20)$$

Здесь

$$\begin{aligned} z_1^2 &= a_1^2 / b_1, \quad z_2^2 = a_2^2 / b_2, \quad \eta_1 = z_1^2(\Omega_0 - \Omega_{\min}), \\ \eta_2 &= z_2^2(\Omega_{\max} - \Omega_0), \quad f = a_2 b_1 / a_1 b_2, \\ U(\mu, \eta_1, \eta_2, f) &= \frac{2\exp(-\mu/2)}{\sqrt{2\pi\mu}} \times \\ &\times \int_0^\infty \int_0^\infty \left\{ \frac{1}{\sqrt{2\pi(\eta_1 - \mu)}} \exp \left[-\frac{1}{2} \left(\frac{\eta_1 - \mu + u}{\sqrt{\eta_1 - \mu}} \right)^2 \right] + \exp(-2u) \Phi \left[\frac{\eta_1 - \mu - u}{\sqrt{\eta_1 - \mu}} \right] \right\} \times \\ &\times \exp[-(\xi - u)] \left\{ \exp \left[-\frac{(\xi - u)^2}{2\mu} \right] - \exp \left[-\frac{(\xi + u)^2}{2\mu} \right] \right\} \times \\ &\times \left\{ \Phi \left[\frac{\eta_2 + f\xi}{\sqrt{\eta_2}} \right] - \exp(-2f\xi) \Phi \left[\frac{\eta_2 - f\xi}{\sqrt{\eta_2}} \right] \right\} du d\xi, \end{aligned}$$

$$\Phi(x) = \int_{-\infty}^x \exp(-u^2/2) du / \sqrt{2\pi} — \text{интеграл вероятности.}$$

С помощью аппроксимации (20) получаем выражения для смещения и рассеяния оценки полосы частот (4):

$$b(\tilde{\Omega}|\Omega_0) = \langle (\tilde{\Omega} - \Omega_0)^2 \rangle = \frac{1}{z_2^2} \int_0^{\eta_2} U(\mu, \eta_2, \eta_1, 1/f) d\mu - \frac{1}{z_1^2} \int_{-\eta_1}^0 U(-\mu, \eta_1, \eta_2, f) d\mu + \\ + (\Omega_0 - \Omega_{\min}) U(\eta_1, \eta_1, \eta_2, f) - (\Omega_{\max} - \Omega_0) U(\eta_2, \eta_2, \eta_1, 1/f), \quad (21)$$

$$V(\tilde{\Omega}|\Omega_0) = \langle (\tilde{\Omega} - \Omega_0)^4 \rangle = \frac{2}{z_2^4} \int_0^{\eta_2} \mu U(\mu, \eta_2, \eta_1, 1/f) d\mu - \frac{2}{z_1^4} \int_{-\eta_1}^0 \mu U(-\mu, \eta_1, \eta_2, f) d\mu - \\ - (\Omega_0 - \Omega_{\min})^2 U(\eta_1, \eta_1, \eta_2, f) - (\Omega_{\max} - \Omega_0)^2 U(\eta_2, \eta_2, \eta_1, 1/f). \quad (22)$$

Эти выражения существенно упрощаются в случае $z_{1,2} \rightarrow \infty$ или $z_{1,2} \rightarrow 0$. Так, при $z_{1,2} \rightarrow \infty$, находим

$$b_\infty(\tilde{\Omega}|\Omega_0) = \frac{z_1^2(1+2f) - z_2^2 f(2+f)}{2z_1^2 z_2^2 (1+f)^2}, \\ V_\infty(\tilde{\Omega}|\Omega_0) = \frac{z_1^4(2+6f+5f^2) + z_2^4 f(5+6f+2f^2)}{2z_1^4 z_2^4 (1+f)^3}. \quad (23)$$

При $z_{1,2} \rightarrow 0$ и выполнении условия (2) процесс $\tilde{L}(\Omega)$ (8) является асимптотически винеровским. Тогда, используя результаты [6], получаем смещение и рассеяние оценки (4) в следующем виде:

$$b_0(\tilde{\Omega}|\Omega_0) = (\Omega_{\min} + \Omega_{\max})/2 - \Omega_0, \\ V_0(\tilde{\Omega}|\Omega_0) = b_0^2(\tilde{\Omega}|\Omega_0) + (\Omega_{\max} - \Omega_{\min})^2/8.$$

Таким образом, результирующее асимптотическое выражение для условного рассеяния оценки полосы частот может быть записано как

$$\hat{V}(\tilde{\Omega}|\Omega_0) = \min[V_0(\tilde{\Omega}|\Omega_0), V_\infty(\tilde{\Omega}|\Omega_0)]. \quad (24)$$

Зададим границы априорного интервала полосы частот сигнала в виде $\Omega_{\min} = \Omega_0(1 - \lambda_1)$, $\Omega_{\max} = \Omega_0(1 + \lambda_2)$, $0 \leq \lambda_1 \leq 1$, $\lambda_2 \geq 0$. На рис. 3 приведены зависимости нормированного рассеяния оценки полосы частот сигнала (4) $\rho_\Omega = \langle (\tilde{\Omega} - \Omega_0)^2 \rangle / \Omega_0^2$ от параметра q_s при условии, что полоса частот помехи Φ_0 априори известна или превышает полосу пропускания преселектора ($\Delta = 0$). Кривые 1 и 3 построены по асимптотической формуле (24), тогда как кривые 2

и 4 построены с использованием выражения (22). Кривым 1 и 2 соответствуют значения параметров $\lambda_1 = \lambda_2 = 1$, а кривым 3 и 4 соответствуют $\lambda_1 = \lambda_2 = 0.5$. Для всех кривых на рис. 3 $\mu = 100$, $k_0 = 4$, $q_\gamma = 1$.

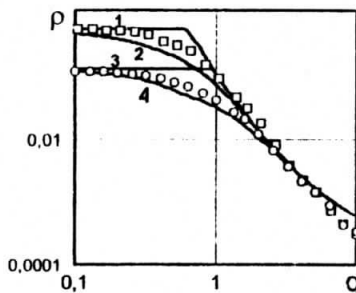


Рис. 3

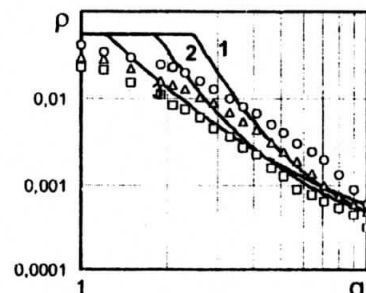


Рис. 4

На рис. 4 приведены зависимости нормированного рассеяния ρ_Q от параметра q_s , рассчитанные по асимптотической формуле (24) для различных значений относительных отклонений полосы пропускания преселектора от полосы частот помехи δ . Кривой 1 соответствует $\delta = 1$, 2 — $\delta = 0.5$, 3 — $\delta = 0$. Для всех кривых значения параметров $q_\gamma = 1$, $\lambda_1 = \lambda_2 = 0.3$, $k_0 = 4$ и $\mu = 100$. Как следует из рис. 4, при не очень большой мощности случайного сигнала $s(t)$ превышение полосы пропускания преселектора над полосой частот помехи может привести к снижению точности оценки полосы частот сигнала (4). Действительно, кривая 3 соответствует относительному рассеянию оценки (4) при $\phi_0 \geq \omega_m$ и отклонение от нее кривых 1 и 2 характеризует проигрыш в точности оценки полосы частот сигнала из-за наличия положительной ненулевой расстройки δ . Причем проигрыш в точности оценки возрастает с ростом δ .

Рассмотрим теперь характеристики оценки дисперсии $\tilde{D}(3)$ при условии, что оценка полосы частот сигнала $\tilde{\Omega}$ определяется согласно (4). Из (7) следует, что при $\tilde{\Omega} = \Omega_0$ и $\mu \gg 1$ рассеяние оценки (3) имеет порядок малости μ^{-1} для всех δ , включая значение $\delta = 0$. В то же время рассеяние оценки (4) в соответствии с асимптотическими формулами (23), (24) имеет порядок малости μ^{-2} . Отсюда следует, что характеристики оценки дисперсии (3) при $\mu \rightarrow \infty$ асимптотически совпадают с характеристиками, найденными при известном значении Ω_0 т. е. определяются выражениями (6) и (7). Следовательно, кривые на рис. 1 характеризуют проигрыш в точности оценки дисперсии случайного сигнала (3) из-за незнания полосы частот помехи ϕ_0 .

Для уменьшения проигрыша в точности оценки дисперсии и полосы частот случайного сигнала целесообразно производить оценивание неизвестной

полосы частот помехи по методу максимального правдоподобия [1, 5, 6] и, в соответствие с полученной оценкой, выбирать полосу пропускания преселектора. Согласно [1, 5], при выполнении условия (2) логарифм функционала отношения правдоподобия $F(D, \gamma, \Omega, \varphi)$ как функция неизвестных параметров D, γ, Ω и φ имеет вид

$$F(D, \gamma, \Omega, \varphi) = \frac{T(\gamma + d)}{\pi N_0(\gamma + d + N_0)} \int_0^{\Omega/2} S_T(\omega) d\omega + \frac{T\gamma}{\pi N_0(\gamma + N_0)} \int_{\Omega/2}^{\varphi/2} S_T(\omega) d\omega - \\ - \frac{T}{4\pi} \left[\Omega \ln \left(1 + \frac{\gamma + d}{N_0} \right) + (\varphi - \Omega) \ln \left(1 + \frac{\gamma}{N_0} \right) \right], \quad (25)$$

где $d = 4\pi D / \Omega$. Из (25) можно получить совместные ОМП дисперсии D_m , полосы частот Ω_m случайного сигнала $s(t)$ и полосы частот φ_m помехи $\xi(t)$

$$(D_m, \Omega_m, \varphi_m) = \operatorname{argsup} M(D, \Omega, \varphi), \Omega \in [\Omega_{\min}; \Omega_{\max}], \varphi \in [\varphi_{\min}; \varphi_{\max}], \quad (26)$$

$$M(D, \Omega, \varphi) = \sup_{\gamma} F(D, \gamma, \Omega, \varphi). \quad (27)$$

В результате, подставляя (25) в (26), (27), находим ОМП дисперсии, полосы частот сигнала и полосы частот помехи:

$$D_m = \frac{1}{\pi} \left[\int_0^{\varphi_m/2} S_T(\omega) d\omega - \frac{1}{\varphi_m/\Omega_m - 1} \int_{\Omega_m/2}^{\varphi_m/2} S_T(\omega) d\omega \right], \quad (28)$$

$$(\Omega_m, \varphi_m) = \operatorname{argsup} L(\Omega, \varphi), \Omega \in [\Omega_{\min}; \Omega_{\max}], \varphi \in [\varphi_{\min}; \varphi_{\max}], \quad (29)$$

$$L(\Omega, \varphi) = \frac{T}{\pi N_0} \int_0^{\varphi/2} S_T(\omega) d\omega - \frac{T\varphi}{4\pi} - \frac{T\Omega}{4\pi} \ln \frac{4}{\Omega N_0} \int_0^{\Omega/2} S_T(\omega) d\omega - \\ - \frac{T(\varphi - \Omega)}{4\pi} \ln \frac{4}{(\varphi - \Omega) N_0} \int_{\Omega/2}^{\varphi/2} S_T(\omega) d\omega \quad (30)$$

Определим характеристики ОМП полосы частот сигнала и помехи (29). Для этого представим (30) в виде

$$L(\Omega, \varphi) = T \{ \omega_m L_1(\varphi) - \Omega \ln L_2(\Omega) - (\varphi - \Omega) \ln L_3(\Omega, \varphi) \} / 4\pi, \quad (31)$$

где функции $L_1(\varphi)$, $L_2(\Omega)$ и $L_3(\Omega, \varphi)$ определяются из (9).

Используя полученные ранее выражения для сигнальных и корреляционных функций шумовых функций (10)–(12), запишем $L(\Omega, \varphi)$ (31) как функцию параметра ε :

$$L(\Omega, \varphi) = T \{ \omega_m S_1(\varphi) + \varepsilon \omega_m N_1(\varphi) - \Omega \ln [S_2(\Omega) + \varepsilon N_2(\Omega)] - (\varphi - \Omega) \times$$

$$\times \ln [S_3(\Omega, \varphi) + \varepsilon N_3(\Omega, \varphi)] \} / 4\pi. \quad (32)$$

Из (10)–(12) имеем, что дисперсии шумовых функций $K_{11}(\varphi_0, \varphi_0)$, $K_{22}(\Omega_0, \Omega_0)$ и $K_{33}(\Omega_0, \Omega_0, \varphi_0, \varphi_0)$ ограничены при любых значениях $k_0 > 1$, $q_\gamma > 0$ и $q_s > 0$. Учитывая также, что в силу условия (2) $\varepsilon \ll 1$, разложим (32) в ряд Маклорена по ε до первого члена разложения, зависящего от реализации наблюдаемых данных. Тогда функция (32) может быть записана как

$$L(\Omega, \varphi) = S(\Omega, \varphi) + N(\Omega, \varphi),$$

$$S(\Omega, \varphi) = T \{ \omega_m S_1(\varphi) - \Omega \ln S_2(\Omega) - (\varphi - \Omega) \ln S_3(\Omega, \varphi) \} / 4\pi, \quad (33)$$

$$N(\Omega, \varphi) = \varepsilon T \{ \omega_m N_1(\varphi) - \Omega N_2(\Omega) / S_2(\Omega) - (\varphi - \Omega) N_3(\Omega, \varphi) / S_3(\Omega, \varphi) \} / 4\pi.$$

Согласно (33) сигнальная функция $S(\Omega, \varphi)$ всегда достигает наибольшего максимума в точке (Ω_0, φ_0) . Значит выходное ОСШ $[5]$ $z^2 = S^2(\Omega_0, \varphi_0) / \langle N^2(\Omega_0, \varphi_0) \rangle$ определяется из выражения (17) при $\Delta = 0$.

Следовательно, при $q_s > 0$, $q_\gamma > 0$, $k_0 > 1$ и $\mu \rightarrow \infty$, ОСШ $z \rightarrow \infty$. При $z \rightarrow \infty$, оценки $\Omega_m \rightarrow \Omega_0$, $\varphi_m \rightarrow \varphi_0$ в среднеквадратическом. Поэтому при больших ОСШ z для получения характеристики оценок (29) достаточно исследовать поведение случайного поля $L(\Omega, \varphi)$ (31) в малой окрестности точки (Ω_0, φ_0) .

Обозначим

$$v = \max \{ |\Omega - \Omega_0|, |\Omega_1 - \Omega_0|, |\Omega_2 - \Omega_0|, |\varphi - \varphi_0|, |\varphi_1 - \varphi_0|, |\varphi_2 - \varphi_0| \} / \Omega_0.$$

Можно показать, что при $v \rightarrow 0$ сигнальная и корреляционная функции шумовой функции $B_N(\Omega_1, \Omega_2, \varphi_1, \varphi_2) = \langle N(\Omega_1, \varphi_1) N(\Omega_2, \varphi_2) \rangle$ допускают аппроксимации:

$$S(\Omega, \varphi) = S_\Omega(\Omega) + S_\varphi(\varphi) - S(\Omega_0, \varphi_0),$$

$$B_N(\Omega_1, \Omega_2, \varphi_1, \varphi_2) = B_\Omega(\Omega_1, \Omega_2) + B_\varphi(\varphi_1, \varphi_2) - B_N(\Omega_0, \Omega_0, \varphi_0, \varphi_0),$$

где $S_\Omega(\Omega) = S(\Omega, \varphi_0)$, $S_\varphi(\varphi) = S(\Omega_0, \varphi)$, $B_\Omega(\Omega_1, \Omega_2) = B_N(\Omega_1, \Omega_2, \varphi_0, \varphi_0)$ и $B_\varphi(\varphi_1, \varphi_2) = B_N(\Omega_0, \Omega_0, \varphi_1, \varphi_2)$.

Тогда при $v \rightarrow 0$ и $\mu \rightarrow \infty$ функционал $L(\Omega, \varphi)$ (30) с учетом его асимптотически гауссовского характера определяется выражением

$$L(\Omega, \varphi) = L_\Omega(\Omega) + L_\varphi(\varphi) - l_0, \quad (34)$$

где $L_\Omega(\Omega) = L(\Omega, \varphi_0)$, $L_\varphi(\varphi) = L(\Omega_0, \varphi)$, а l_0 — гауссовская случайная величина с математическим ожиданием $S(\Omega_0, \varphi_0)$ и дисперсией $B_N(\Omega_0, \Omega_0, \varphi_0, \varphi_0)$, причем $L_\Omega(\Omega)$, $L_\varphi(\varphi)$ и l_0 взаимно статистически независимы. Согласно (34) оценки (29) можно представить в виде

$$\Omega_m = \operatorname{argsup} L_\Omega(\Omega), \Omega \in [\Omega_{\min}; \Omega_{\max}], \quad (35)$$

$$\varphi_m = \operatorname{argsup} L_\varphi(\varphi), \varphi \in [\varphi_{\min}; \varphi_{\max}], \quad (36)$$

причем в силу статистической независимости случайных процессов $L_\Omega(\Omega)$ и $L_\varphi(\varphi)$, оценки (35) и (36) статистически независимы.

Из сопоставления алгоритмов оценки полосы частот случайного сигнала (35) и (4) видно, что $L_\Omega(\Omega) = \tilde{L}(\Omega)|_{\omega_m = \varphi_0}$. Следовательно, характеристики оценки Ω_m (29) асимптотически с увеличением времени наблюдения совпадают с характеристиками оценки $\tilde{\Omega}$ (4) при априори известном значении полосы частот помехи, т. е. определяются выражениями (21)–(24) при $\delta = 0$. Тогда кривая 3 на рис. 4 характеризует нормированное рассеяние оценки (29). Как следует из рис. 4, точность совместной оценки полосы частот сигнала и помехи (29) может существенно превышать точность квазиправдоподобной оценки (4) при $\delta > 0$.

Аналогично [6] можно показать, что случайный процесс $L_\varphi(\varphi)$ с увеличением времени наблюдения в малой окрестности точки φ_0 является асимптотически гауссовским марковским процессом диффузионного типа [7]. Коэффициенты сноса и диффузии для него записываются как

$$K_{1\varphi} = \frac{T}{4\pi} \begin{cases} a_{1\varphi}, & \varphi < \varphi_0 \\ -a_{2\varphi}, & \varphi > \varphi_0 \end{cases}, \quad K_{2\varphi} = \frac{T}{4\pi} \begin{cases} b_{1\varphi}, & \varphi < \varphi_0 \\ b_{2\varphi}, & \varphi > \varphi_0 \end{cases},$$

$$\text{где } a_{1\varphi} = \frac{T}{4\pi} [q_\gamma - \ln(1+q_\gamma)], \quad a_{2\varphi} = \frac{T}{4\pi} \left[\ln(1+q_\gamma) - \frac{q_\gamma}{1+q_\gamma} \right], \quad b_{1\varphi} = \frac{T}{4\pi} q_\gamma^2,$$

$$b_{2\varphi} = \frac{T}{4\pi} \frac{q_\gamma^2}{(1+q_\gamma)^2}.$$

Опять применяя метод локально-марковской аппроксимации [6], получаем, что характеристики оценки полосы частот помехи φ_m определяются из формул (21)–(24) при значениях параметров $z_1^2 = a_{1\varphi}^2 / b_{1\varphi}$, $z_2^2 = a_{2\varphi}^2 / b_{2\varphi}$, $\eta_1 = z_1^2 (\varphi_0 - \varphi_{\min})$, $\eta_2 = z_2^2 (\varphi_{\max} - \varphi_0)$, $f = a_{2\varphi} b_{1\varphi} / a_{1\varphi} b_{2\varphi}$ и при замене значений Ω_{\min} на φ_{\min} , Ω_{\max} на φ_{\max} .

Зададим границы априорного интервала полосы частот помехи в виде $\varphi_{\min} = \varphi_0(1-\theta_1)$, $\varphi_{\max} = \varphi_0(1+\theta_2)$, $0 \leq \theta_1 \leq 1$, $\theta_2 \geq 0$.

На рис. 5 приведены зависимости нормированного рассеяния оценки полосы частот помехи (29) $p_\varphi = \langle (\varphi_m - \varphi_0)^2 \rangle / \varphi_0^2$ от параметра q_γ для значений параметров $\theta_1 = \theta_2 = 0.1$, $k_0 = 2$ и $\mu = 100$. Кривая 1 рассчитана по асимптотической формуле (24), а кривая 2 построена с использованием более точной формулы (22). Отметим, что характеристики оценки полосы частот помехи асимптотически не зависят от мощности сигнала $s(t)$, а определяются только временем наблюдения, априорным интервалом ее возможных значений и отношением интенсивностей помехи $\xi(t)$ и белого шума $n(t)$.

Рассмотрим теперь характеристики оценки дисперсии (28). Из (6), (7) следует, что при $\Omega_m = \Omega_0$, $\varphi_m = \varphi_0$ и $\mu >> 1$ рассеяние оценки (28) имеет порядок малости μ^{-1} . В то же время, согласно (23), рассеяния оценок (29) имеют порядок малости μ^{-2} . Отсюда, повторяя приведенные выше рассуждения, получаем, что характеристики оценки (28) при $\mu \rightarrow \infty$ асимптотически совпадают с характеристиками оценки (3), найденными при известных значениях полос частот сигнала Ω_0 и помехи φ_0 , т. е. определяются из выражений (6) и (7), когда $\Delta = 0$. Следовательно, кривые на рис. 1 характеризуют выигрыш в точности совместной ОМП дисперсии, полосы частот случайного сигнала и полосы частот помехи (28) и (29) по сравнению с квазиправдоподобной оценкой дисперсии (3) при $\varphi_0 < \omega_m$.

Для проверки работоспособности рассмотренных алгоритмов оценки (3), (4) и (28), (29) было проведено статистическое моделирование. Моделирование проводилось в частотной области и полагалось, что реализация наблюдаемых данных $x(t)$ доступна обработке в течение интервала наблюдения $[-T/2; T/2]$. Для формирования функционала (31) на ЭВМ был использован нормированный аргумент $\tilde{\omega} = \omega / \Omega_0$. Обозначим $\alpha = \Omega / \Omega_0$ — нормированная полоса частот сигнала $\alpha \in [\alpha_{\min}; \alpha_{\max}]$, $\kappa = \varphi / \Omega_0$ — нормированная полоса частот помехи, $\kappa \in [\kappa_{\min}; \kappa_{\max}]$ и $X(\omega) = \int_{-T/2}^{T/2} x(t) \exp(-j\omega t) dt$ — спектр реализации $x(t)$. Положим, что $\lambda_1 = \lambda_2 = \lambda$, $\theta_1 = \theta_2 = \theta$, так что $\alpha_{\min} = 1 - \lambda$, $\alpha_{\max} = 1 + \lambda$, $\kappa_{\min} = k_0(1 - \theta)$, $\kappa_{\max} = k_0(1 + \theta)$. Тогда функции (5) и (30) перенишутся в виде

$$\tilde{L}(\alpha) = \mu [L_1(\tilde{\omega}_m) - \alpha \ln L_2(\alpha) - (\tilde{\omega}_m - \alpha) \ln L_3(\alpha, \tilde{\omega}_m)] \quad (37)$$

$$L(\alpha, \kappa) = \mu [L_1(\kappa) - \alpha \ln L_2(\alpha) - (\kappa - \alpha) \ln L_3(\alpha, \kappa)] \quad (38)$$

где

$$\tilde{\omega}_m = \omega_m / \Omega_0,$$

$$L_1(\kappa) = \int_0^{\kappa/2} |\tilde{X}(\tilde{\omega})|^2 d\tilde{\omega} - \kappa, \quad L_2(\alpha) = \frac{1}{\alpha} \int_0^{\alpha/2} |\tilde{X}(\tilde{\omega})|^2 d\tilde{\omega},$$

$$L_3(\alpha, \kappa) = \frac{1}{\kappa - \alpha} \int_{\alpha/2}^{\kappa/2} |\tilde{X}(\tilde{\omega})|^2 d\tilde{\omega} \quad (39)$$

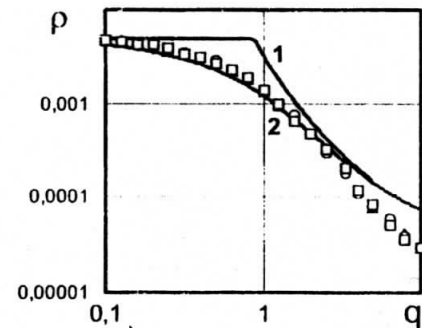


Рис. 5

$\tilde{X}(\tilde{\omega}) = 2\sqrt{q_s} X(\tilde{\omega}\Omega) / T\sqrt{D_0}$ — нормированный спектр реализации $x(t)$. Соответственно алгоритмы оценки полосы частот сигнала (4) и совместной оценки полосы частот сигнала и помехи (29) могут быть представлены как

$$\tilde{\alpha} = \operatorname{argsup} \tilde{L}(\alpha), \alpha \in [\alpha_{\min}; \alpha_{\max}] \quad (40)$$

$$(\alpha_m, \kappa_m) = \operatorname{arg sup} L(\alpha, \kappa), \alpha \in [\alpha_{\min}; \alpha_{\max}], \kappa \in [\kappa_{\min}; \kappa_{\max}] \quad (41)$$

Для моделирования алгоритмов оценки необходимо формировать реализации случайного процесса $\tilde{X}(\tilde{\omega})$ и на их основе вырабатывать функции (39).

В процессе моделирования, аналогично [2], вырабатывались дискретные отсчеты случайного процесса $\tilde{X}(\tilde{\omega})$:

$$\begin{aligned} \tilde{X}_{c,s}(\tilde{\omega}_n) \approx & \sqrt{\Delta \tilde{\omega}} \sum_{i=-p}^p \sqrt{q_s I[(n-i)\Delta \tilde{\omega}] + q_\gamma I[(n-i)\Delta \tilde{\omega}/k_0]} + \\ & + h(\tilde{\omega}_i)(x_{n-i} \pm \tilde{x}_{n-i}), \end{aligned} \quad (42)$$

где $\Delta \tilde{\omega} = 0,1/\mu$, $\tilde{\omega}_n = n\Delta \tilde{\omega}$, $\tilde{X}_c(\tilde{\omega}) = \operatorname{Re} \tilde{X}(\tilde{\omega})$, $\tilde{X}_s(\tilde{\omega}) = \operatorname{Im} \tilde{X}(\tilde{\omega})$, $h(\tilde{\omega}) = \sin(2\pi\mu\tilde{\omega})/(2\pi\mu\tilde{\omega})$, а x_i и \tilde{x}_i — независимые гауссовские случайные величины с нулевыми математическими ожиданиями и единичными дисперсиями.

По сформированным согласно (42) дискретным отсчетам случайного процесса $\tilde{X}(\tilde{\omega})$ вычислялись аппроксимации интегралов (39)

$$\begin{aligned} L_1(\kappa) = & \Delta \tilde{\omega} \sum_{n=1}^M [\tilde{X}_c^2(\tilde{\omega}_n) + \tilde{X}_s^2(\tilde{\omega}_n)] - \kappa, L_2(\alpha) = (\Delta \tilde{\omega}/\alpha) \sum_{n=1}^N [\tilde{X}_c^2(\tilde{\omega}_n) + \tilde{X}_s^2(\tilde{\omega}_n)], \\ L_3(\alpha, \kappa) = & [\Delta \tilde{\omega}/(\kappa - \alpha)] \sum_{n=N+1}^M [\tilde{X}_c^2(\tilde{\omega}_n) + \tilde{X}_s^2(\tilde{\omega}_n)], \end{aligned}$$

где $N = \operatorname{int}(\alpha/2\Delta \tilde{\omega})$, $M = \operatorname{int}(\kappa/2\Delta \tilde{\omega})$, а $\operatorname{int}(\cdot)$ — целая часть числа.

В результате подстановки аппроксимаций (42) интегралов (39) в (37), (38) формировались функции $\tilde{L}(\alpha)$ и $L(\alpha, \kappa)$. Затем, согласно (40), (41) определялась нормированная квазиправдоподобная оценка полосы частот сигнала $\tilde{\alpha}$ и нормированные совместные ОМП полосы частот сигнала и помехи (α_m, κ_m) . Для каждой сформированной в процессе моделирования реализаций (42) интегралов (39) оценки дисперсии вычислялись по формулам $\tilde{D} = (D_0/q_s)[L_2(\tilde{\alpha}) - \tilde{\alpha}L_3(\tilde{\alpha}, \tilde{\omega}_m)]$ — для квазиправдоподобной оценки (3) и $D_m = (D_0/q_s)[L_2(\alpha_m) - \alpha_m L_3(\alpha_m, \kappa_m)]$ — для ОМП дисперсии (28).

Моделирование проводилось при значениях параметров $\mu = 100$, $\Delta \tilde{\omega} = 10^{-3}$. Значение параметра p в (42) полагалось равным 20, так что относи-

тельное отклонение дисперсии сформированного отсчета (42) от дисперсии самого случайного процесса $\tilde{X}(\tilde{\omega})$ не превышало 2%. Для каждого набора параметров $k_0, q_s, q_\gamma, \lambda$ и θ было проведено не менее 2000 циклов испытаний.

По результатам моделирования алгоритмов оценки дисперсии (3) и (28) вычислялось экспериментальное значение отношения рассеяния оценки дисперсии (3) к рассеянию совместной оценки (28). Параметры априорных интервалов значений полосы частот сигнала и помехи полагались $\lambda = 0,2$, $\theta = 0,1$. Полученные экспериментальные значения нанесены на рис. 1.

Кроме того, для определения области, в которой характеристики совместной оценки дисперсии, полосы частот сигнала и помехи (28), (29) можно аппроксимировать характеристиками оценки дисперсии случайного сигнала с априори известным значением полосы частот при наличии помехи с априори известной полосой частот, на рис. 6 приведены теоретические и экспериментальные зависимости нормированного рассеяния оценки дисперсии (28) $\beta = V(D_m|D_0)/D_0^2$ от q_s . Теоретические зависимости рассчитаны на основе аппроксимации $V(D_m|D_0) \approx V(\tilde{D}|D_0, \Delta = 0)$, где $V(\tilde{D}|D_0, \Delta)$ определяется выражением (7).

Зависимости, показанные на рис. 6 построены для значений параметров $\mu = 100$, $k_0 = 2$, $\lambda = 0,2$ и $\theta = 0,1$. Кривая 1 построена для $q_\gamma = 2$, 2 — для $q_\gamma = 1$. Экспериментальные значения обозначены прямоугольниками — для $q_\gamma = 2$ и окружностями — для $q_\gamma = 1$.

На рис. 3, 4 показаны экспериментальные значения нормированного рассеяния ρ_Ω КПО (4) и ОМП (29) полосы частот сигнала. Экспериментальные значения, полученные для нормированного рассеяния совместной ОМП полосы частот сигнала и помехи (29) обозначены на рис. 4 прямоугольниками. На рис. 5 приведены экспериментальные значения нормированного рассеяния ρ_ϕ ОМП полосы частот помехи (29) для различных значений интенсивности сигнала. Прямоугольники соответствуют величине $q_s = 0,1$, треугольники — $q_s = 1$ и окружности — $q_s = 10$.

Из анализа рис. 3 и 5 видно, что формулы (21), (22) обеспечивают лучшую точность аппроксимации экспериментальных характеристик оценки полосы частот сигнала и совместной оценки полосы частот сигнала и помехи по сравнению с асимптотическими формулами (23), (24) для случая, когда значения

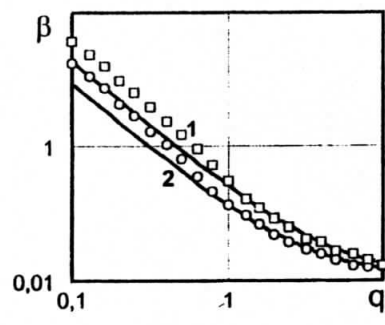


Рис. 6

ОСШ не велики. Однако, с увеличением ОСШ характеристики оценок, рассчитанные по формулам (21), (22) практически совпадают с аналогичными характеристиками, рассчитанными с использованием формул (23), (24). Поэтому, при больших ОСШ использование более простых выражений (23), (24) также представляется целесообразным. Кроме того, из рис. 4 следует, что использование совместной ОМП полосы частот сигнала и помехи (29) действительно обеспечивает лучшую точность измерения полосы частот сигнала по сравнению с квазиправдоподобной оценкой (4).

Из рис. 1 и 6 видно, что в случае, когда интенсивность сигнала больше или сопоставима как с интенсивностью помехи, так и с интенсивностью белого шума, использование адаптивного алгоритма, реализующего совместную ОМП дисперсии, полосы частот случайного сигнала и полосы частот помехи (28), (29) позволяет почти полностью компенсировать потери в точности оценки дисперсии, возникающие из-за априорного незнания полосы частот помехи.

Таким образом, моделирование показало удовлетворительное согласование полученных теоретических характеристик алгоритмов оценки параметров случайного сигнала (3), (4) и (28), (29) с экспериментальными и подтвердило работоспособность рассмотренных алгоритмов оценки параметров случайного сигнала.

Приведенные результаты теоретического и экспериментального исследования оценок позволяют сделать обоснованный выбор алгоритма оценки в зависимости от имеющейся априорной информации о параметрах помехи, а также в зависимости от требований, предъявляемых к точности оценок и степени простоты аппаратурной или программной реализации алгоритма.

БИБЛИОГРАФИЧЕСКИЙ СПИСОК

1. Куликов Е. И. Методы измерения случайных процессов.— М. : Радио и связь, 1986.— 272 с.
2. Трифонов А. П., Глазнев А. А. Оценка дисперсии случайного сигнала с неизвестной полосой частот // Радиоэлектроника.— 1999.— Т. 42.— №2.— С. 10—21. (Изв. высш. учеб. заведений).
3. Зюко А. Г., Кловский Д. Д. и др. Теория передачи сигналов— М. : Связь, 1980.— 282 с.
4. Вакин С. А., Шустов Л. Н. Основы радиопротиводействия и радиотехнической разведки.— М. : Сов. радио, 1968.— 444 с.
5. Куликов Е. И., Трифонов А. П. Оценка параметров сигналов на фоне помех.— М. : Сов. радио, 1978.— 296 с.
6. Трифонов А. П., Шинаков Ю. С. Совместное различение сигналов и оценка их параметров на фоне помех.— М. : Радио и связь, 1986.— 264 с.
7. Тихонов В. И., Миронов М. А. Марковские процессы.— М. : Радио и связь, 1977.— 488 с.

Воронежский госуниверситет.

Поступила в редакцию 04.12.2001.